

總 說

浮遊選礦에 關 하여

吳 在 賢 *

緒 論

固體粒子가 混合된 懸濁液에서 特定粒子를 分離하는 데는 粒子의 크기, 比重, 磁性等의 差異를 利用한 離分 (screening), 比重選別, 磁力選別等이 있으나, 浮遊選礦 (flotation)은 固·液·氣界面의 物理化學的 性質을 利用하여 特定粒子를 氣泡에 付着시켜 浮上分離하는 方法이다. 서로 親水性表面을 가지며 化學的으로 成分이 다른 粒子群 A, B 가 물에 懸濁되어 있을 때 A, B 가 粒度, 比重, 磁性等의 物理的 性質이 같아 이들에 依한 分離가 困難하면 粒子表面의 물에 對한 wetability의 差를 利用한 方法으로 分離할 수가 있다. 지금 界面活性劑를 以 懸濁液에 넣었을 때 A에는 吸着이 되고 B에는 吸着이 안되었다고 한다면 粒子群 A의 表面만을 疏水性으로 만들 수가 있다. 한편 B는 親水性 그대로이다. 이中에 氣泡를 導入하면 A는 安定한 接觸角을 만들어 付着하지만 B는 付着하지 않는다. 이 A·氣泡結合全體의 比重이 물의 比重보다 적을 때는 浮上한다. 여기서 浮上하는 A와沈降하는 B를 서로 分離할 수가 있다. 이것이 浮選의 原理이다. 이와 같은 狀態를 나타낸 것이 그림 1이다.

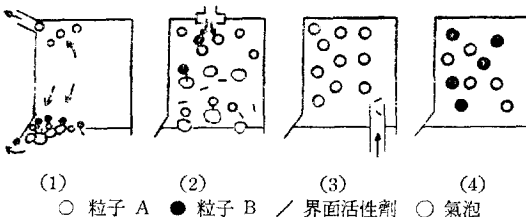


그림 1. 浮選의 模式圖

- (1) 粒子의 懸濁液
- (2) 界面活性剤가 A에 吸着
- (3) A粒子에 氣泡가 付着
- (4) Froth로 되어 分離

浮遊選礦法은 皮膜浮選(film flotation), 多油浮選(bulk oil flotation), 泡沫浮選(froth flotation)으로 分

* 金屬燃料綜合研究所 責任 研究員

類할 수 있지만¹⁾ 浮選法이 鐵石分離를 對象으로 發達하고 오늘날 그 거의가 泡沫浮選이기 때문에 鐵石의 泡沫浮選을 浮遊選礦으로 부르게 되었다.

近年 浮遊選礦은 固·固分離뿐만 아니라 固·液, 液·液分離에도 利用되고 있어 그 應用範圍는 넓어지고 있다. 여기서는 泡沫浮選을 浮選으로 略稱하고 鐵石을 中心으로 한 固·固分離의 概略을 記述한다.

浮選操作法

礦山의 採掘場에서 選礦場으로 보내온 鐵石은 塊狀이거나 혹은 粒度가 크기 때문에 選礦經費中相當한 高額을 使用해서 粉碎한다. 粉碎理由는 鐵石粒子가 浮選에 適當한 懸濁液을 만들어야 함과 그림 2에서 알 수 있는 바와 같이 鐵石 1粒子中에 構成礦物 數成分이 混在되어 있는 것을 1粒子 1成分으로(單體分離하함) 만들기 위해서이다. 浮選에 適當한 粒子의 크기는 鐵石의 種類에 따라서 다르지만一般的으로 硫化金屬礦은 5~200μ, 非金屬礦은 60~800μ, 石炭은 100~3000μ程度로 알려져 있다.

懸濁液의 懸濁質濃度도 鐵石의 種類에 따라 다르지만 大體의 例는 30%前後가 가장 많다. 그림 3은 大韓重石礦業株式會社 上東礦業所의 浮選系統圖이다. 本系統에 依하여 浮選에는 어떠한 藥劑가 어떠한 目的으로 添加되어 어떻게 處理되는가를 說明하고자 한다.

이 鐵山의 有價礦石은 灰重石(CaWO_4), 輝蒼鉛礦(Bi_2S_3), 輝水鉛礦(MoS_2)이고 品位는 WO_3 0.80%, Bi 0.06%, Mo 0.04%이다. 1日에 約 1,200ton을 浮選處理하여 그結果月 灰重石精礦 350 ton 品位 WO_3 71%, 輝蒼鉛礦 35 ton, 品位 Bi 3.0%, 輝水鉛礦 10 ton, 品位 90%를 產出하고 있다.

Ball mill에서 -48mesh로 磨礦된 鐵粒이 硫化浮選에서 硫化礦物(浮上)과 非硫化礦物(沈下)로 分離된다. 이때 浮選試藥으로서 xanthate Z-6, Z-11과 MIBC, aerofloat #31, cresylic acid를 使用한다. 浮上한 硫化礦物

은 Bi, Mo 鎳石(浮上, 이것을 Bi 半精鎳으로 부르고 있다)과 其外 硫化鎳物(沈下)로 分離되고 Bi 半精鎳은 다시 MoS_2 (浮上)와 Bi_2S_3 (沈下)로 分離된다. 이 때 浮選試藥으로는 NaCN, kerosene 等을 使用하고 있다.

硫化浮選의 尾鎳인 非硫化鎳物은 소다灰, 水硝子, 오레인酸을 添加하고 鎳液溫度를 25°C 로 높이어 重石 脂選을 하여 重石鎳(浮上)과 其外脈石鎳物(沈下)로 分離하고 있다.

上記浮選試藥中 xanthate [ROCSNa 또는 K]와 aeroflo' at [$(\text{RO})_2\text{PSSNa}$ 또는 K]는 硫化鎳物에 選擇的으로 吸着되



그림 2. 上東礦山產 硫化鎳物의 顯微鏡寫眞 ($\times 500$)
C: 黃銅鎳 P: 黃鐵鎳 B: 輝蒼鉛鎳

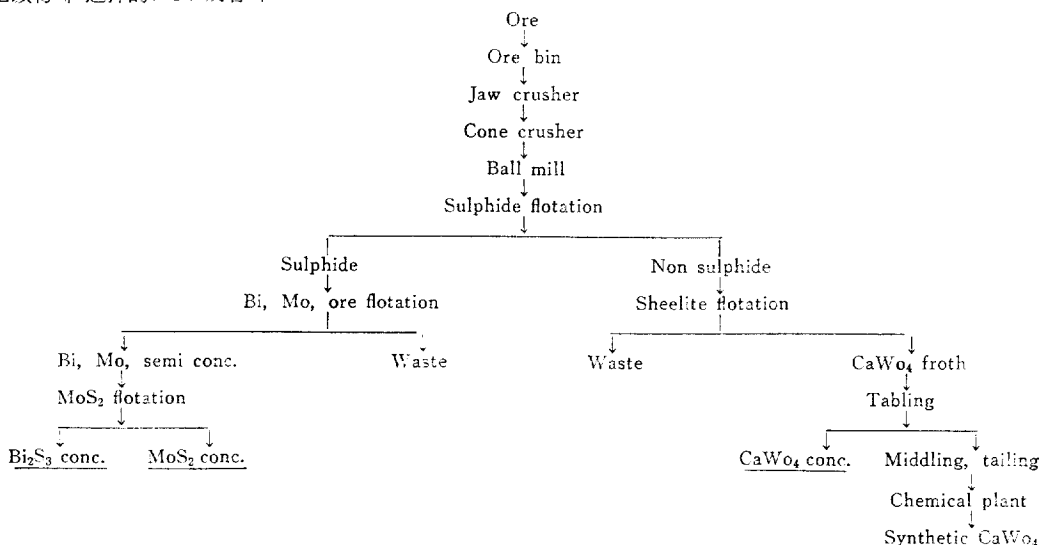


그림 3. 上東礦業所 浮選系統略圖

어 鎳粒表面에 隣水性을 부여한다. 이러한 目的으로 添加되는 藥劑를 捕收剤 (collector)라고 부르며 鎳石 ton 當使用量은 50~100g 이다. 그리고 MIBC(methyl iso butyl carbinol)와 cresylic acid 는 氣泡의 壽命을 길게하고 氣泡를 強烈하게하는 役割을 하며 起泡剤(frother)라고 부른다. 鎳石 ton 當 50g 程度를 使用한다. NaCN은 黃鐵鎳, 黃銅鎳, 閃亞鉛鎳等을 抑制하는 役割을 하며 抑制剤(depressor)라고 부른다. 지금 Bi, Mo ore 浮選에서 NaCN(10g/t)을 添加하면 青化物와 Fe^{3+} 이 反應하여 ferro cyanide ion이 되어 Fe^{3+} 이 減少해서 黃鐵鎳表

面의 iron xanthate의 被膜의 形成이 困難하게되고 (xanthogenic ion은 Fe^{3+} 과는 反應하여 iron xanthate를 形成하지만 Fe^{2+} 과는 거이 反應하지 않는다) 同時に ferro cyanide ion과 Fe^{3+} 가 反應해서 iron xanthate보다 溶解度가 적은 親水性 colloid가 黃鐵鎳表面을 被覆함으로 xanthate에 依해 黃鐵鎳은 浮遊하지 못한다. Kerosene은 黑鉛, 輝鉛鎳, 石炭等의 flake 狀鎳物의 捕收剤로서 使用되고 있으나 그 捕收機構는 잘 알려져있지 않다.

重石浮選에서는 소다灰를 加하여 鎳液의 pH를 約 9.0

으로維持한다. 이와같이 浮選條件의 調整을 目的으로 하는 試藥을 調節劑라고 부르고 특히 pH의 調節을 為한 試藥을 pH調節劑라고 한다. 浮選에 있어서 pH의 調節은 매우 重要하다. 假令 黃鐵礦은 알카리性礦液에 서는 浮遊하지 않는다.

重石의 捕收劑로는 오레인酸을 鑛石 ton當 200~250g 使用한다. 이 오레인酸은 硫化礦物에 있어서 xanthate 가 代表의 捕收劑이다. 오레인酸은 低溫礦液에서는 捕收力이 弱하므로 蒸氣를 浮選機속에 넣어 矿液溫度를 높이고 있다. 水硝子는 脂石을 浮遊 못하게하는 役割을 하며 抑制劑의 一種이고 鑛石 ton當 130~170g를 使用하고 있다.

이 重石浮選에서 原礦 W_{O_3} 0.8%인 것을 約 15%로 올리어 汰盤(table)에 給礦한다. 比重選礦機의 一種인 汰盤에서는 浮選處理한 重石礦을 比重選礦하여 汚盤精礦(W_{O_3} 71%)은 自然灰重石의 最終產物이 되고 汚盤尾礦은 化工處理하여 人工灰重石(W_{O_3} 71%)으로서 生產하고 있다.

鑛石表面과 浮選試藥의 作用

浮選을 하기 위해서는 鑛石表面을 疎水性으로 할 必要가 있다. 이 目的으로 捕收劑가 添加된다. 그리고 浮遊性이 弱한 鑛石或是 일단 浮遊性을抑制했던 것을 다시 浮遊하기 쉽게 하기 为了해서 活性劑(activator)를 添加한다. 한편 浮遊性이 強한 鑛石을沈下시키기 为了해서 抑制劑를添加한다. 其他 氣泡의 安定性을 좋게하기 为了해서 氣泡劑가, 矿液의 pH를 調整하는 pH調節劑가 为了해서 氣泡劑가, 矿液의 pH를 調整하는 pH調節劑가 添加된다.

表 I. 一般的으로 使用되는 浮選試藥

(1) 起泡劑	파인油, 檸脂油, MIBC, cresylic acid
(2) 捕收劑	Xanthate ROSSNa (K) Aerofloat $\begin{matrix} RO \\ RO \end{matrix} > PSSNa(K.H)$ 脂肪酸 RCOOH (Na) Alkyl sulfate RSO_4Na Alkyl sulfonate RSO_3Na Amine $RNH_2, RRNH, RNH^+Cl^-$
(3) 活性劑	CuSO ₄ , 硫化소다 Na_2S
(4) 抑制劑	青化物 NaCN, Ca(CN) ₃ , $Na_4F(CN)_6$ 亞硫酸鹽 $Na_2SO_3, NaHSO_3, SO_2$ 硫酸亞鉛 $ZnSO_4$ 青化소다 NaF 有機膠質 tannic acid, starch, dextrine, gelatine
(5) pH調節劑	黃酸 H_2SO_4 소다灰 Na_2CO_3 , 石灰 $Ca(OH)_2$ 水硝子 Na_2SiO_6 磷酸鹽($NaPO_3$) ₆

劑(pH regulator)가 添加된다. 이것들의 重要的 것을 表 1에 綜合하였다. 浮選은 이를 試藥을 適時 適當한 回路에 加해서 分離를 하고 있다. 試藥의 作用機構는 鑛石의 種類에 따라 다르다.

天然鑛石은 그 中에 包含된 鑛物이 서로 混合物의 形態로 產生하고 그 種類도 많아 假令 粉碎한다 하더라도 均一한 組成을 가진 鑛石으로 分離안되는 것이 普通이다. 硫化礦의 경우는 特히 酸化의 影響을 받아 鑛石粒子의 全體의 組成과 表面의 組成은 一致하지 않는다. 浮選은 鑛石表面의 差를 利用하는 選別이니까 表面의 汚染變質에 따른 浮選成績의 影響은 크다²⁾.

捕收劑의 吸着

捕收劑의 吸着과 鑛石의 浮遊性에 關한 研究는 많으나 그 結果 다음 說이 提出되고 있다.

1. 化學反應說³⁾
2. 이온交換吸着說⁴⁾
3. 中性分子吸着說⁵⁾

1은 捕收劑이온과 金屬이온이 化學反應에 依하여 不溶性鹽을 만들고 이것이 疏水性이기 때문에 鑛石이 浮遊한다는 說.

2는 捕收劑이온이 鑛石表面에 吸着되어 있는 이온과 交換吸着한다는 說.

3은 2와 같지만 吸着의 中性分子로 되어있다는 說. 이 說들은 오랫동안 議論對象이 되어왔지만 鑛石의 表面性質(酸化如否)에 依하여 어느 說이라도 일어날 수 있다는 것이 證明되었다⁶⁾. 捕收劑가 吸着或是 反應에 依해서 鑛石表面이 疏水性으로 되는 것은 모두 捕收劑의 疏水基때문이다. 捕收劑의 吸着은 矿液의 pH에 依

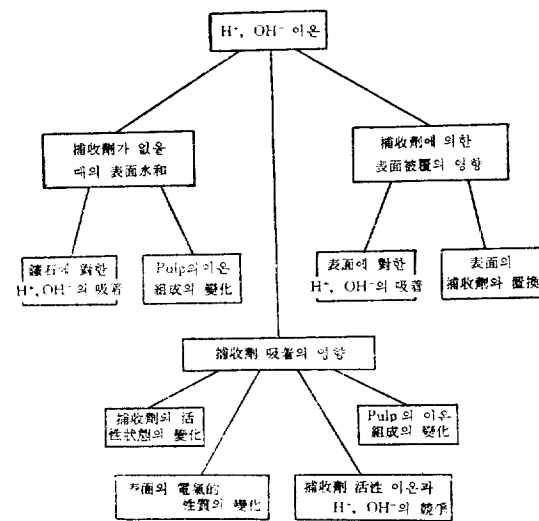


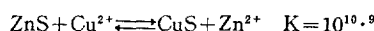
그림 4. 浮選에 미치는 H^+ , OH^- 이온의 影響

하여 많은影響을 받는다. 浮選에 있어서의 H^+ , OH^- 의 影響을 그림 4에 나타내었다⁷⁾.

活性劑의 作用

浮遊性이 弱한 鐵石을 強하게 하기 為해서는 ① 鐵石表面을 組成이 다른 皮膜으로 한다. ② 表面電氣化學的인 性質을 變化시킨다. 등의 方法을 取한다.

이들의 例로서 ZnS 表面을 Cu^{2+} 에 依하여 次式의 反應으로



CuS 膜을 만들어 浮遊性을 强하게 한다.

또 다른 例로서 石英에 Ba^{2+} , Al^{3+} 등의 多價이온을 加하면 lauric acid로 浮遊시킬 수가 있다.

抑制劑의 作用

浮遊性이 強한 鐵石 或은 이미 浮遊한 鐵石을 浮遊 못하게 하기 為해서는 捕收性을 없애든가 捕收劑皮膜을 破壞하든지 或은 鐵石表面에 親水性皮膜을 만들면 된다.

例를 들면 Cu^{2+} 로 活性화된 ZnS를 抑制하려면 CN^- 를 加하면 銅시안錯鹽이 亞鉛시안錯鹽보다 安定하기 때문에 위 式의 反應은 左로 進行하여 脫活性된다고 생각하고 있다.

浮選에 있어서의 界面電氣現象

酸化物의 鐵石 或은 非硫化鐵石에 있어서의 捕收劑의 作用機構는 電氣化學的으로 說明되는 경우가 많다. 더욱 懸濁粒子의 凝集分散의 문제에 있어서도 電氣化學的인 面으로 檢討되어 이들의 문제が 定量的으로 取扱이 되었다.

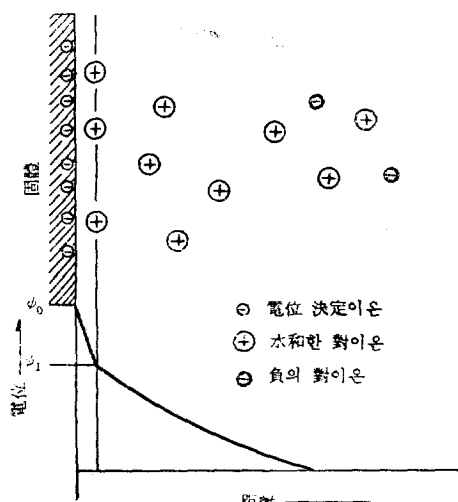


그림 5. 電氣二重層의 模式圖

懸濁粒子의 固・液界面은 陽・陰이온의 分布가 不均衡함으로 電荷가 나타나 이온의 二重層을 形成한다. 그 狀況을 模式的으로 나타낸 것이 그림 5이다. 固體表面에서 이온의 特異吸着에 依한 Stern吸着層이, 그 다음에는 Gouy-Chapman의 擴散二重層이 단들어진다. Stern層과 擴散二重層을 總括해서 界面電氣二重層이라고 한다.

電位決定이온은 固相의 結晶格子를 構成하는 이온이고 AgI 같으면 Ag^+ , I^- 이 難溶性酸化物에서는 H^+ , OH^- 이 電位決定이온이다.

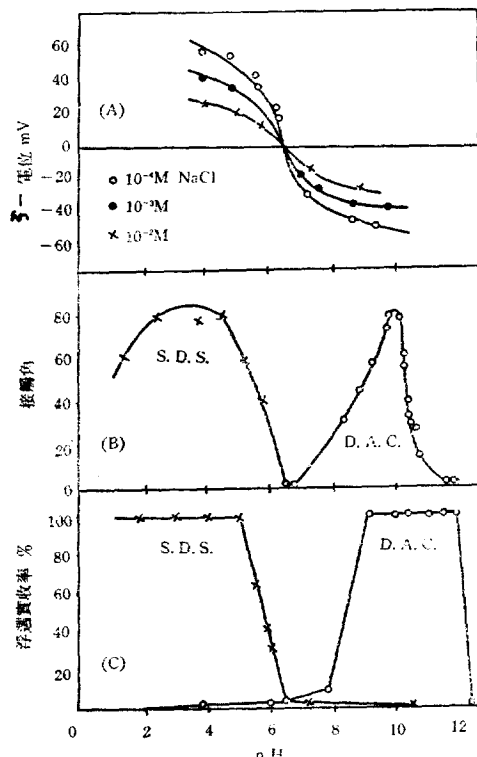


그림 6. 褐鐵礦의 (A) 表面電位 (B) 接觸角 (C) 浮選曲線과 pH의 關係

그림 6은 岩崎⁸⁾의 實驗結果이고 褐鐵礦浮選을 電氣化學的으로 說明한 例이다. 그림 6(A)에서 褐鐵礦의 表面電位決定이온은 H^+ , OH^- 이고 等電點(iso electric point)은 pH 6.7이다. 褐鐵礦表面은 pH<6.7에서 正으로 pH>6.7에서 負로 荷電되어 있기 때문에 正일 때는 anion系捕收劑의 sodium dodecyl sulfate가, 負일 때는 cation系捕收劑의 dodecyl ammonium chloride가 더욱 많이 吸着해서 接觸角 浮遊率이 增大하고 있다. 이와같이 等電點을 中心으로 거의 對稱的으로 되어 있는 것은 電氣相互作用에 依한 것으로 생각된다.

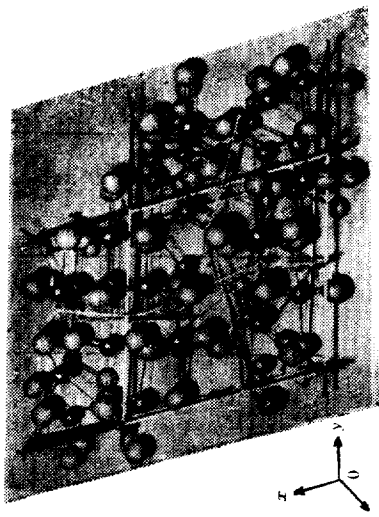


그림 7. (A) 藍晶石의 結晶構造模型

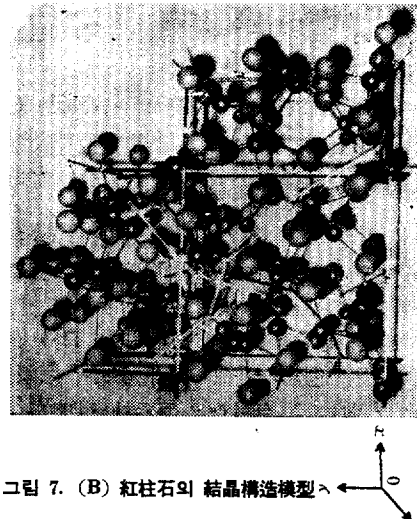


그림 7. (B) 紅柱石의 結晶構造模型

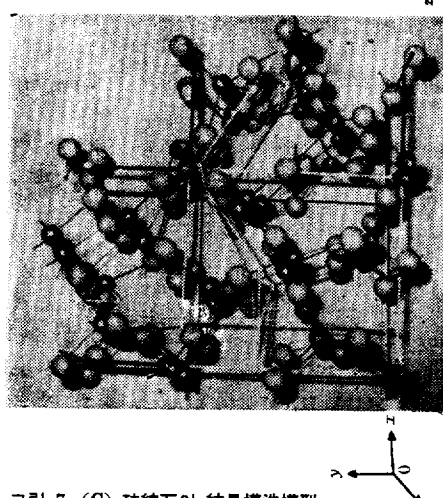


그림 7. (C) 珪線石의 結晶構造模型

그림 7 (A, B, C)에서 白線으로 包圍한 것이 單位格子, 實로 連結한 것이 脫開面이고, 大球은 酸素原子, 小球은 Si原子이다.

最近의 浮選理論

前述한 界面電氣現象에서 보는 바와같이 非硫化礦物에 있어서의 捕收劑의 作用機構는 電氣化學的으로 說明되는 경우가 많으며 이때 矿物의 等電點은 그 矿物의 浮遊性을豫測케 한다. 이 等電點은 固體의 界面電氣化學的인 性質을 論하는데 重要한 定數로 되어 있다.

여기서는 alumino 珪酸鹽礦物을 中心으로 矿物의 結晶構造와 等電點과의 關連性을 說明해 보고자 한다⁹⁾.

藍晶石, 紅柱石 및 珪線石은 同一한 化學組成(Al_2SiO_5)을 가지고 있지만 藍晶石은 三斜晶系, 紅柱石과 珪線石은 斜方晶系에 屬해 있고 結晶構造를 各各 달리하고 있다.

只今 이들 alumino 珪酸鹽礦物의 單位格子의 結晶模型(그림 7 A, B, C)으로부터 破碎面(劈開面)을 推定할 수 있으며 x , y 軸에 平行한 二次元의 破碎面을 考慮하였다. 이 面이 矿物表面에 露出되어 있는 原子의 種類와 配位에 對한 全體의 傾向을 나타낸 것으로 볼 수 있을 것이다. 그림 7 (A)에 依하면 藍晶石은 單位格子의 表面上에 4個의 Si原子와 6個의 Al原子와 그리고 10個의 酸素原子가 露出되어 있고 그림 7(B)에 依하면 紅柱石은 單位格子의 表面上에 Si原子가 4個, Al原子가 8個, 그리고 12個의 酸素原子가 露出되어 있다. 그림 7 (C)에 依하면 珪線石은 單位格子의 表面上에 2個의 Si原子와 6個의 Al原子와 8個의 酸素原子가 露出되어 있다. 이 露出되어 있는 Si原子의 配位數는 4이지만 Al原子의 配位數는 矿物에 따라 4, 5, 6의 3種類가 있다.

그리고 結合이 切斷되어서 表面上에 露出되고 있는 酸素原子가 그 裏面의 金屬原子와 結合하고 있는 型을 보면 $-\text{O} \backslash \text{Al}$ 型과 $-\text{O} \backslash \text{Al} / \text{Si}$ 型의 두 가지가 있다.

L. Pauling의 靜電氣的 原子價의 則律에 따라서 矿物表面에 露出되고 있는 金屬原子의 靜電氣的 荷電의 總和를 求해보면 藍晶石이 7.0이고 紅柱石이 9.6, 그리고 珪線石이 5.5이다. 이것으로부터 다시 原子當平均荷電量(weighted average charge/metallic atom)을 求하면 藍晶石과 珪線石이 0.7, 紅柱石이 0.8이다. 이러한 矿物表面의 特性을 表示하면 表 2와 같다.

위의 矿物들과 比較하기 爲하여 β 石英(SiO_2)과 鋼玉(Al_2O_3)의 結晶構造를 檢討하여 表面上에 露出되어 있는 金屬原子의 平均荷電量을 求하면 石英이 1.0이고 鋼玉이 0.5이다. 그리고 石英과 鋼玉의 等電點이 되는 pH는 2.3과 9.4로 알려져 있다. 이러한 事實을 綜合하면 이들 表面上에 露出되어 있는 金屬原子의 平均荷電量과 等電點과의 相互關係는 그림 8에서 보는 바와같이 直線關係가 成立되어 있으므로 矿物表面의 金屬原子가

表 2. 鐵物表面의 特性

	結合이 切斷된 金屬原子의 特性			結合이 切斷된 酸素原子의 特性		結合의 切斷이 없고 表面에 露出된 酸素原子 數	等電點의 pH
	表面에 露出된 原子數		原子個當平均 荷電量	-O_{Al}型	-O_{Si}型		
	Si	Al					
藍晶石	4	6	0.7	6個	4個	18	6.9
紅柱石	4	8	0.8	6〃	8〃	20	5.2
珪線石	2	6	0.7	4〃	4〃	22	6.0
備 考				$\begin{array}{c} \text{Al} \\ \\ -\text{O}-\text{Al} \text{型} \text{を} \\ \\ \text{Al} \end{array}$			

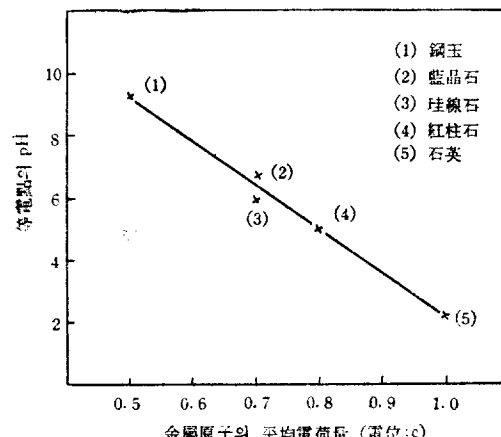


그림 8. 表面金屬原子의 平均荷電量과 等電點과의 相關圖

面에 있어서의 電氣化學的 性質에相當히 重要한 影響을 미치고 있다는 것을 알 수 있다.

以上要約하면 化學組成의 같은 이들 alumino珪酸鹽礦物은 結晶構造에 依하여 表面의 靜電氣的 特性을 달리 하고 이 特性은 等電點의 pH 와 密接한 關係를 가지고 있다. 즉 金屬原子의 平均荷電量이 크면 等電

表 3. 浮選의 應用例

1. 選鐵, 選炭	
(1) 硫化鐵物	PbS, ZnS, CuFeS ₂ , CuS 등
(2) 非硫化金屬礦物	Fe ₂ O ₃ , WO ₃ , MnO ₂ 등
(3) 非金屬礦物	CaF ₂ , 粘土 등
(4) 水溶性礦物	KCl, NaCl 등
(5) 其他	石炭, 硫黃 등
2. 有機物	種子, 豆類, 染料, 박테리아, 汚水 등
3. 特殊浮選	이온交換體浮選, 이온浮選 Ultra 浮選 LPF 浮選 Segregation 法 등

點의 pH는 酸性側으로 移動하고 平均荷電量이 적으면 等電點의 pH는 碱性側으로 移動한다.

浮選의 應用

지금까지 鐵石浮選에 關하여 記述하였으나 浮選이 適用되는 分野는 鐵石뿐만 아니라 固·固, 固·液, 液·液分離에 利用할 수 있다. 이것을 表 3에 総合하였다.

後記

浮選에 關한 概說이기 때문에 個個에 關해서는 記述하지 못하였다. 詳細한 것은 成書를 參照해 주기 바란다. 浮選技術은 學問의으로나 應用面으로나 興味 있는 問題를 많이 包含하고 있다. 이 小文이 選鐵技術者以外의 여러분에게 조금이라도 參考가 될다면 多幸한 일이다.

參考文獻

- 1) A. F. Taggart: Hand Book of Mineral Dressing (1945)
- 2) 山崎太郎: 日鐵誌, 1964年秋季大會 Text
- 3) A. F. Taggart, G. R. M. del Guidice and O. A. Ziehl: Trans. AIME 112, 348 (1934)
- 4) K. L. Sutherland and I. W. Wark: Principle of Flotation (Aust. Inst Min. Met) 142 (1955)
- 5) M. A. Cook and J. C. Nixon: J. Phys. Colloid Chem. 54 445 (1950)
- 6) T. Yamasaki and S. Usui: Trans AIME 232, 36 (1965)
- 7) V. I. Klassen and V. A. Mokrousov: An Introduction to the Theory of Flotation (Translated by Leja and Poling) 296 (1963)
- 8) 岩崎巖: 日鐵誌, 77, 647 (1961)
- 9) 崔寧燮, 吳在賢: 日鐵誌 81, 927 (1965) 82, 941 (1966) 82, 942 (1966)